

# **Генератори синусоїдальних коливань**

**Генератор синусоїдальних (гармонійних) коливань** – це електронний пристрій, який перетворює електричну енергію джерела постійного струму в енергію електричних синусоїдальних коливань заданої частоти.

Розрізняють генератори синусоїдальних коливань з незалежним збудженням і самозбудженням (автогенератори). Залежно від частоти коливань, що генерується, генератори підрозділяються на низькочастотні (від 10 Гц до 100 кГц), високочастотні (від 100 кГц до 100 МГц) та надвисокочастотні (понад 100 МГц).

За типом частотно-вибіркової ланки, які задають частоту коливань, генератори гармонійних коливань поділяються на LC- і RC-генератори.

# Структурна схема генератора синусоїдальних коливань



$\dot{U}_{BX} = \dot{U}_{ВИХ} / K_U$  і  $\dot{U}_{33} = \beta \dot{U}_{ВИХ}$ , тоді з  
 $\dot{U}_{33} = \dot{U}_{BX}$  виходить  $\beta \dot{U}_{ВИХ} = \dot{U}_{ВИХ} / K_U$ ,

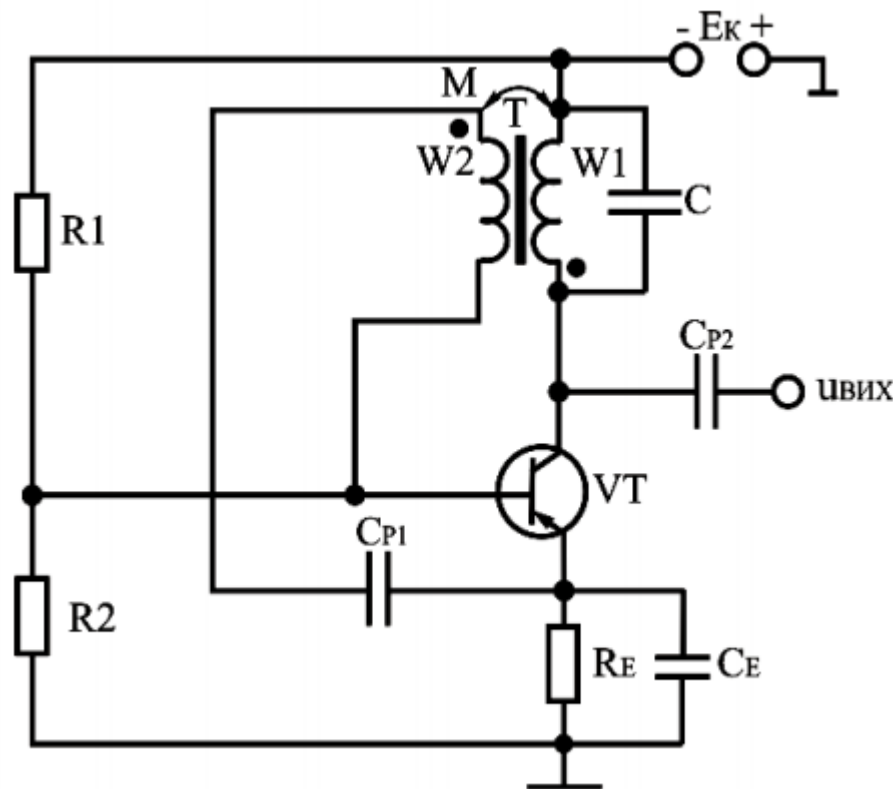
$$\dot{K}_U \cdot \beta = 1.$$

Ця умова підрозділяється на умову балансу амплітуд ( $K_U \cdot \beta = 1$ ) і фаз ( $\varphi_U + \varphi_\beta = 2\pi n$ , де  $n = 0, 1, 2, 3, \dots$ ).

# LC-генератори синусоїдальних коливань

LC-генератори призначені для генерування сигналів високої частоти (понад декілька десятків кілогерц). LC-генератори містять у ланцюзі ДЗЗ резонансний контур LC, параметри якого визначають частоту коливань вихідної напруги:

$$f_O = \frac{\omega_O}{2\pi} = \frac{1}{2\pi\sqrt{LC}}.$$



## LC-генератори синусоїдальних коливань

Підсилювальний каскад виконаний на транзисторі (увімкнений за схемою СЕ) з елементами  $R_1, R_2, R_E, C_E$ , які призначені для задання режиму спокою і температурної стабілізації. Вихідний сигнал знімається з колектора транзистора VT. У схемі однокаскадного підсилювача з чисто активним навантаженням вихідний сигнал знаходиться в протифазі з входним сигналом. У зв'язку з цим для забезпечення умови балансу фаз ланка ДЗЗ на резонансній частоті повинна здійснювати поворот на  $180^\circ$  фази сигналу, який передається на вход підсилювача. У схемі генератора параметрами коливального контуру є ємність конденсатора  $C$  та індуктивність  $L$  первинної обмотки  $W_1$  трансформатора Т. Сигнал зворотного зв'язку знімається з вторинної обмотки  $W_2$ , яка індуктивно зв'язана з обмоткою  $W_1$ , і через розділяючий конденсатор  $C_{P1}$  подається на вход транзистора. Необхідне фазування напруги ЗЗ досягається відповідним підключенням выводів вторинної обмотки. Оскільки напруга ЗЗ менше вихідної напруги, відношення чисел витків первинної і вторинної обмотки  $W_1 / W_2 > 1$ .

Якщо прийняти індуктивний зв'язок обмоток  $W_1$  та  $W_2$  ідеальним, то для забезпечення умови балансу амплітуд необхідно, щоб

$$\beta \geq \sqrt{L/L_B} = W_1 / W_2,$$

де  $\beta$  – коефіцієнт підсилення транзистора за струмом.

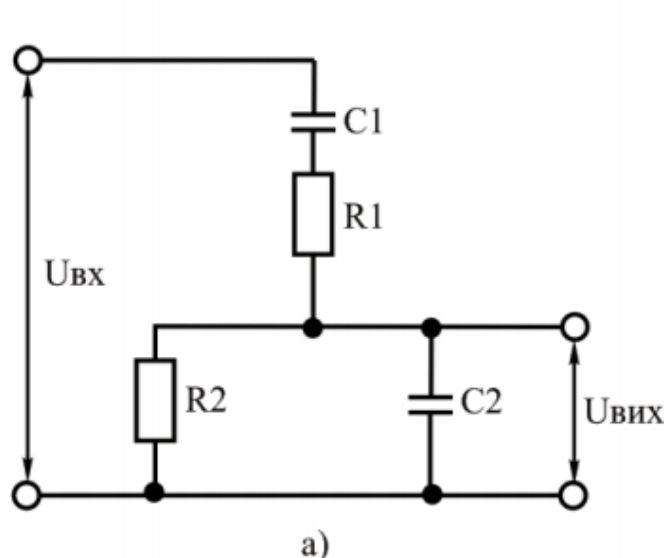
## **RC-генератори синусоїдальних коливань**

Для отримання гармонійних коливань низької частоти (до одиниць герц) застосовують генератори, у яких у ланці ЗЗ використовуються частотно-вибіркові кола, що складені з резисторів і конденсаторів.

Частотно-вибірковими ланками, які найчастіше використовуються в RC-генераторах, є Г-подібні RC-кола, міст Віна та подвійний Т-подібний міст.

# RC-генератори синусоїдальних коливань

Схема моста Віна і його характеристики



а – схема; б – амплітудно-частотна характеристика  $\beta = f(f)$ ;  
в – фазо-частотна характеристика  $\varphi = f(f)$

Частота генерації в схемі рівна квазірезонансній частоті частотно-вибіркової ланки, яка визначається із співвідношення:

$$f_0 = \frac{1}{2\pi\sqrt{R1R2C1C2}} = \frac{1}{2\pi RC},$$

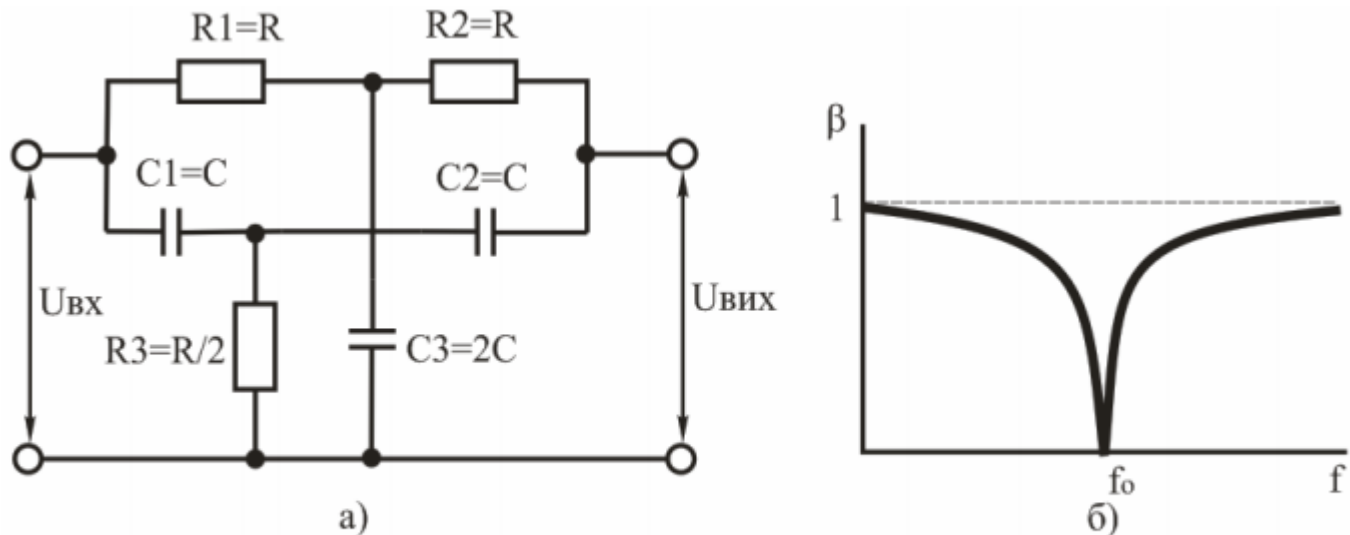
де  $R1 = R2 = R$  і  $C1 = C2 = C$ .

Передатний коефіцієнт кола:

$$\beta = \frac{U_{Bxh}}{U_{Bx}} = \frac{1}{1 + R1/R2 + C1/C2}.$$

# RC-генератори синусоїдальних коливань

Схема подвійного Т-подібного моста і його характеристики



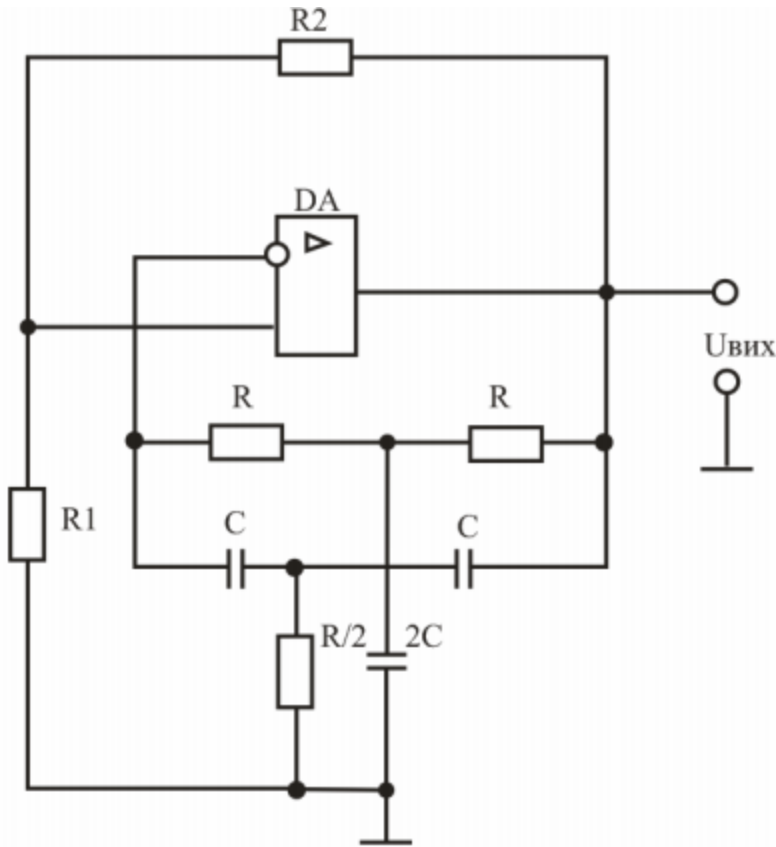
**Подвійний Т-подібний міст та його характеристика:**

а – схема; б – амплітудно-частотна характеристика  $\beta = f(f)$ ;

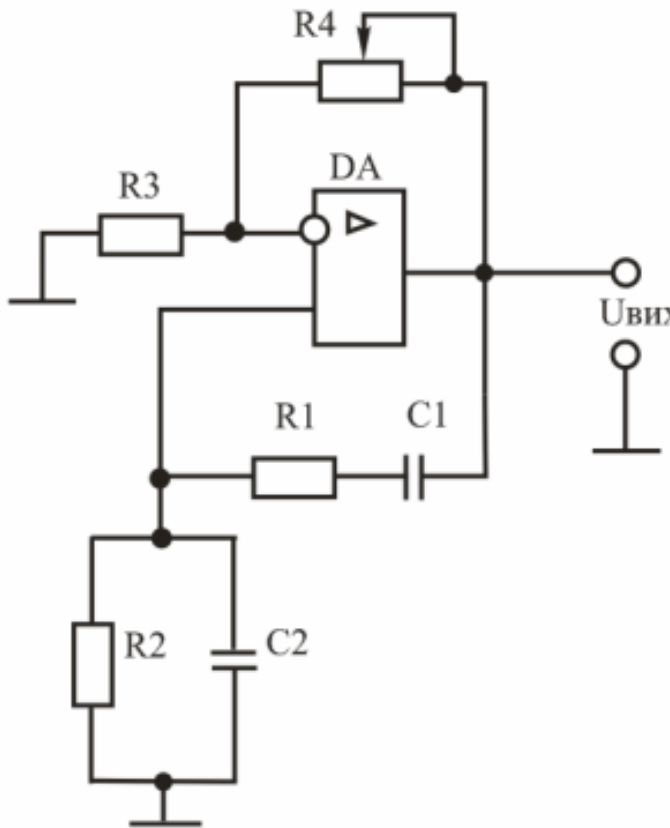
На квазірезонансній частоті  $f_0=f_p$  коефіцієнт передачі подвійного симетричного Т-подібного моста рівний нулю ( $\beta=0$ ). Отже, фазовий зсув на цій частоті також буде рівний нулю ( $\varphi=0$ ). Вказані властивості виявляються при певних співвідношень між параметрами схеми:  $R_1=R_2=R$ ,  $R_3=R/2$ ;  $C_1=C_2=C$ ,  $C_3=2C$ . Частоту квазірезонансу  $f_0$  при цьому знаходять із співвідношення:

$$f_0 = \frac{1}{2\pi RC}.$$

# RC-генератор операційному підсилювачі з подвійним Т-подібним мостом



# RC-генератор операційному підсилювачі з мостом Віна



Резистори  $R_3$  і  $R_4$  призначені для отримання необхідного коефіцієнта підсилення. За допомогою змінного резистора  $R_4$  можна змінювати коефіцієнт підсилення підсилювача, домагаючись при цьому найменших нелінійних викривлень коливань, що генеруються.

Оскільки на частоті генерації  $f_0$  коефіцієнт передачі моста Віна  $\beta = 1/3$ , самозбудження генератора можливе при  $K_U > 3$ .

# Характеристики роботи RC-генераторів

Основною характеристикою роботи автогенераторів є стабільність частоти коливань. Зміна частоти коливань обумовлена нестабільністю напруги живлення, а також зовнішніми чинниками (температуру, тиском і т. д.).

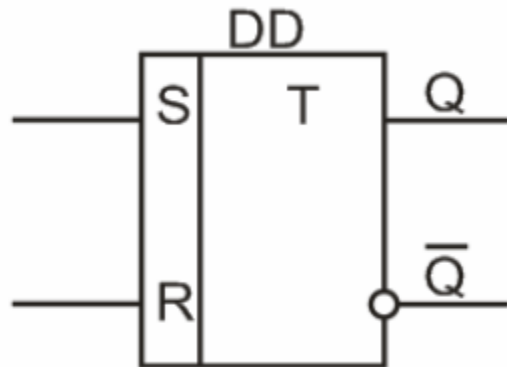
Нестабільність частоти коливань характеризується коефіцієнтом відносної нестабільності  $\Delta f/f_p$  (де  $f_p$  – робоча частота автогенератора), який визначається через параметри схеми:

- для LC-генераторів  $\frac{\Delta f}{f_p} = -\frac{1}{2} \left( \frac{\Delta L}{L} + \frac{\Delta C}{C} \right);$
- для RC-генераторів  $\frac{\Delta f}{f_p} = -\left( \frac{\Delta C}{C} + \frac{\Delta R}{R} \right).$

Для зменшення нестабільності частоти застосовують параметричну і кварцеву стабілізацію. Параметрична стабілізація базується на підборі елементів схеми, які мало чутливі до змін дестабілізувальних чинників. Така стабілізація забезпечує нестабільність частоти  $10^{-5}$ . Кварцева стабілізація заснована на використанні кварцевих резонаторів і забезпечує нестабільність частоти  $10^{-8}$ .

## Асинхронні R-S-тригери

Залежно від способу керування розрізняють асинхронні та тактовані *R-S*-тригери.

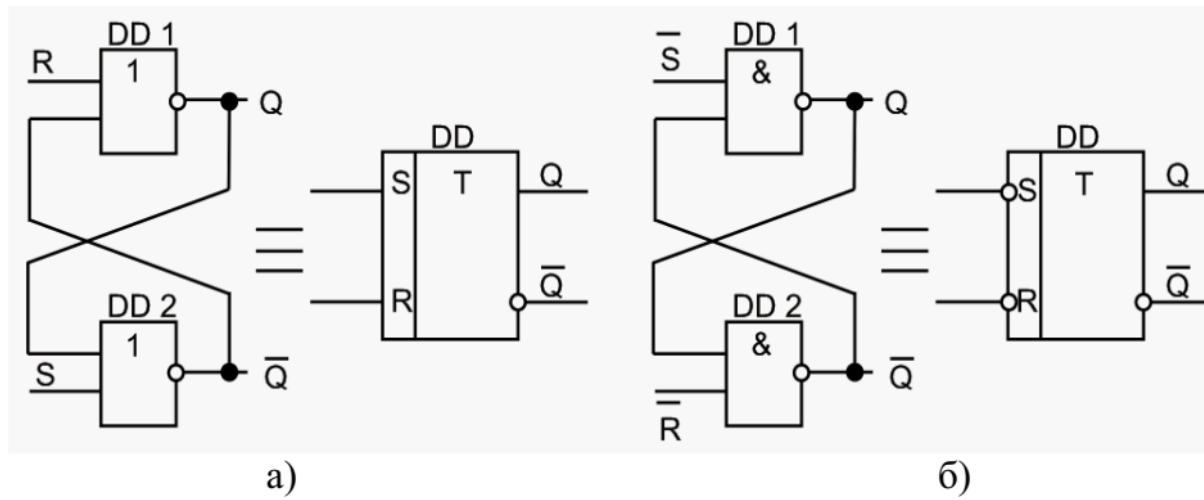


Виходи:  $Q$  – пряний;  $\bar{Q}$  – інверсний

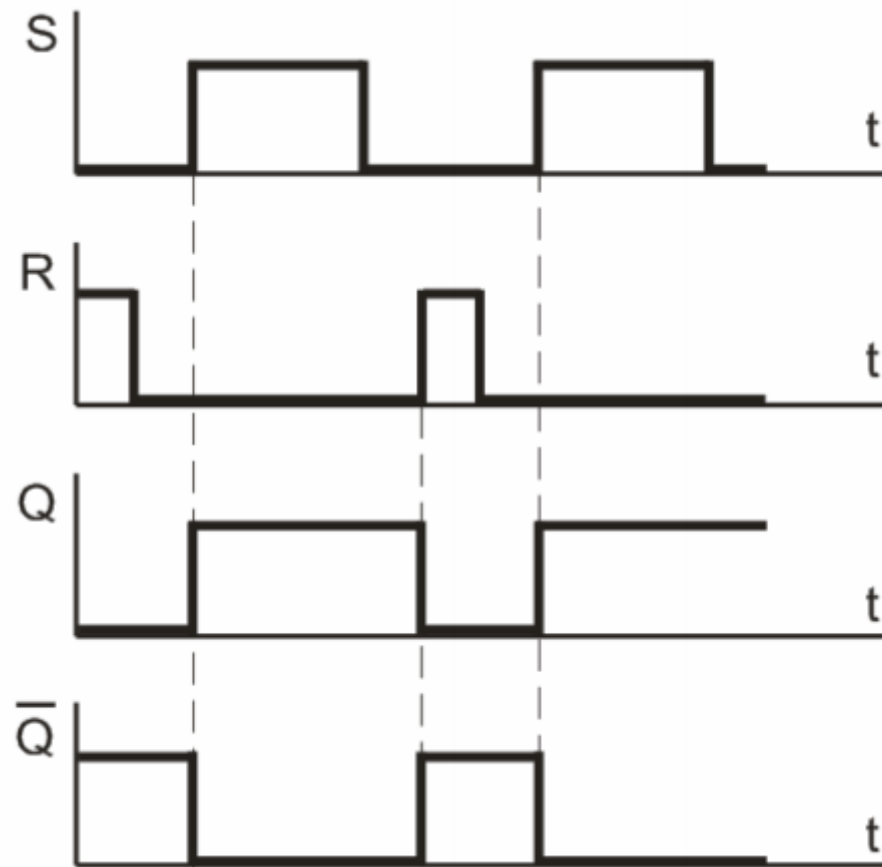
# Асинхронні R-S-тригери

Асинхронний  $R$ - $S$ -тригер, як і тригер будь-якого іншого типу, характеризується двома станами: логічної “1” та логічного “0”. Стану логічної “1” відповідає  $Q = 1$ ,  $\bar{Q} = 0$ ; стану логічного “0”:  $Q = 0$ ,  $\bar{Q} = 1$ .

За інформаційним входом  $S$  проводиться установка тригера в стан логічної “1”, а по інформаційному входу  $R$  – установка (перехід тригера в початковий стан) логічного “0”. Цьому відповідають скорочені позначення входів і назва тригера:  $S$  (*set*) – установка,  $R$  (*reset*) – повернення в початковий стан. Тригери легко реалізуються на логічних елементах: АБО – НІ – тригер з прямыми входами

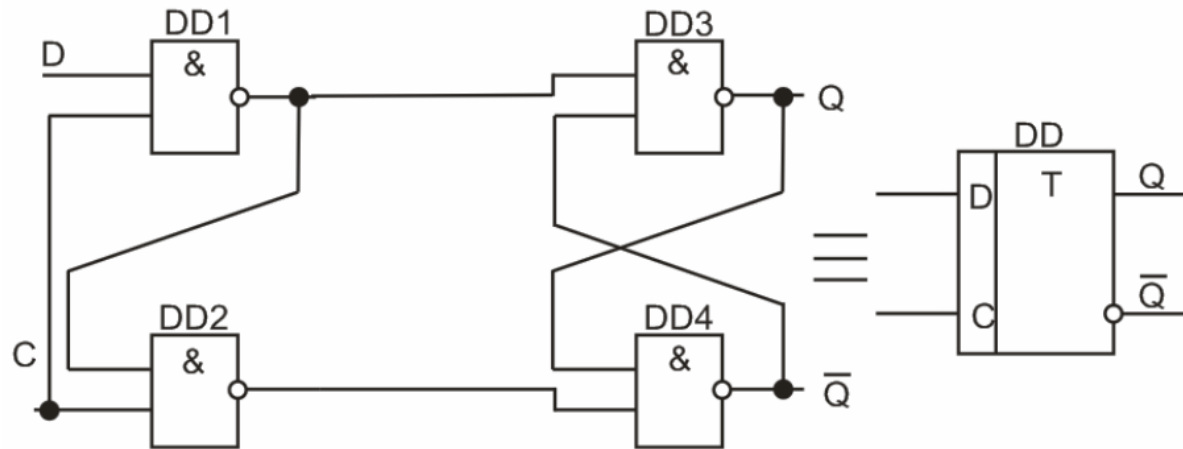


# Часова діаграма роботи асинхронного R-S-тригера



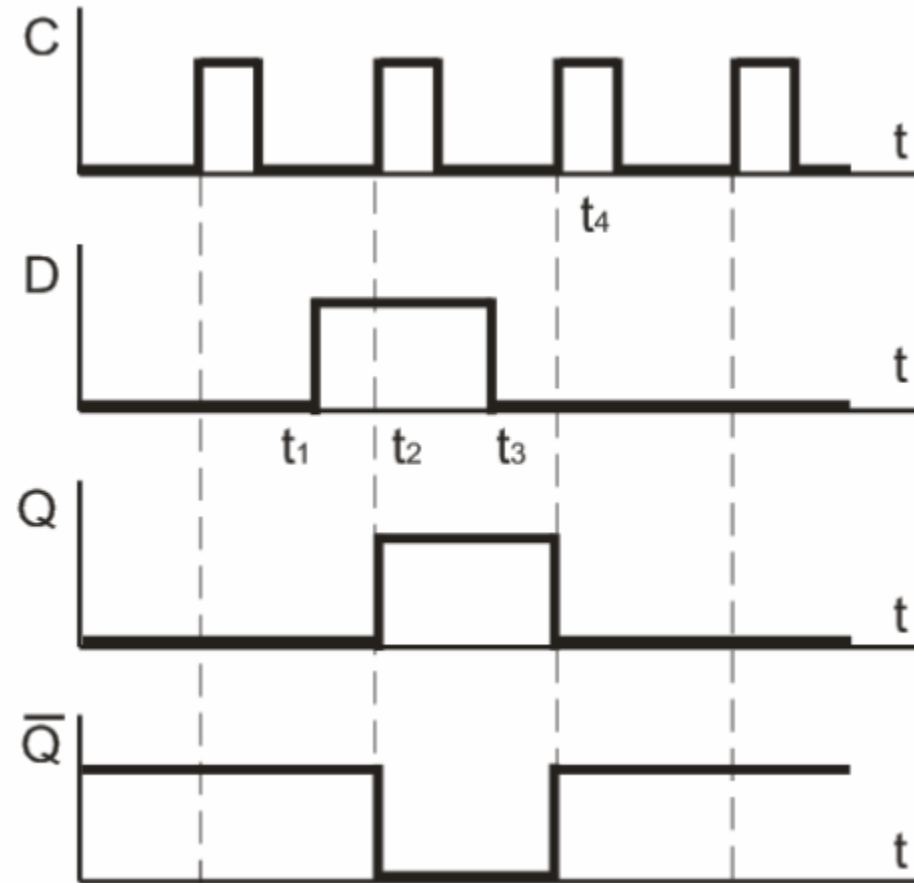
# D-тригери

*D*- тригери мають один інформаційний вхід (*D*- вхід, на який подається інформація, призначена для занесення в тригер) та вхід синхронізації (*C*- вхід) або тактовий вхід.



# Таблиця істинності та часові діаграми роботи D-тригера

t <sup>n</sup>		t <sup>n+1</sup>	
C	D	$Q^{n+1}$	$\bar{Q}^{n+1}$
0	0	1	0
1	0	0	1
1	1	1	0
0	1	1	0
0	0	1	0
1	0	0	1



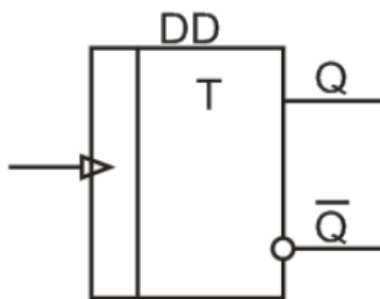
## D-тригери

Якщо рівень сигналу на вході  $C=0$ , стан тригера стійкий і не залежить від рівня сигналу на інформаційному вході. Під час подачі на вхід синхронізації рівня  $C=1$  інформація на прямому виході повторюватиме інформацію, що подається на вхід  $D$ . Таким чином, перемикання тригера з одного стійкого стану в інші відбувається з появою синхронізувального (тактового) імпульсу на вході  $C$ .

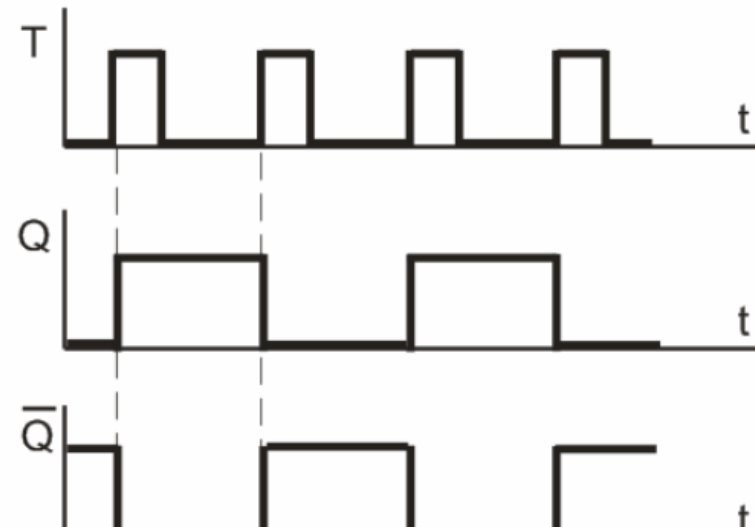
Припустимо, що до моменту приходу вхідного сигналу  $D$  тригер знаходився в стані логічного “0” ( $Q = 0, \bar{Q} = 1$ ). В інтервалі часу  $t1-t2$ , коли діє вхідний сигнал  $D$ , стан тригера не змінюється, оскільки при цьому  $C=0$ . Дія сигналу  $C=1$  в момент часу  $t2$  призводить до перемикання тригера в стан логічної “1” ( $Q = 1, \bar{Q} = 0$ ). Стан логічної “1” тригера не зміниться до моменту часу  $t4$ . Поява у момент часу  $t4$  сигналу  $C=1$  викликає перемикання тригера в стан логічного “0”.

# Т-тригери

*T*-триггер має один керуючий вхід *T* і два виходи *Q* та  $\bar{Q}$ . Характерною властивістю *T*-тригера є його перемикання в протилежний стан з приходом кожного чергового вхідного імпульсу. Його називають також триггером з лічильним запуском.



a)



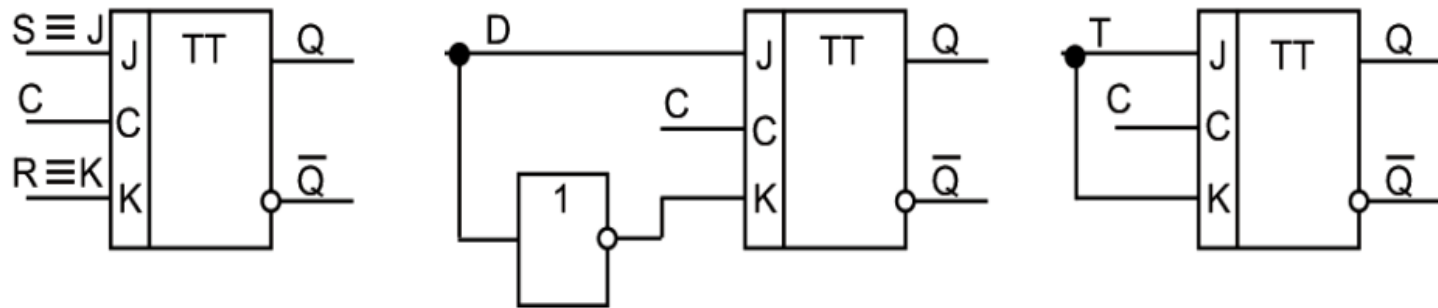
б)

## Т-тригери

З приходом першого імпульсу на вхід  $T$  тригер встановлюється в стан логічної “1” ( $Q=1$ ). Другим імпульсом тригер перемикається в стан логічного “0” і так далі. Частота сигналу на виході  $T$ -тригера в два рази нижча за частоту сигналу на вході, тому такий тригер можна використовувати як дільник частоти, а також у лічильниках числа імпульсів.

## Універсальні J-K-тригери

Це пристрой з двома інформаційними входами  $J$  і  $K$ , які у разі вхідної комбінації  $J=K=1$  перемикають тригер у протилежний стан подібно  $T$ -тригерау, а при будь-яких інших комбінаціях вони функціонують як  $R-S$ -тригер, у якого роль входів  $S$  і  $R$  виконують відповідно входи  $J$  і  $K$ :  $J \equiv S$ ,  $K \equiv R$ . Під час відповідного підключення входів  $J-K$ -тригер може виконувати функції  $R-S$ ,  $D$  і  $T$ -тригерів



## Універсальні J-K-тригери

$R$ - $S$ -тригер отримують подачею на вхід  $J$  сигналу  $S$ ; а на вхід  $K$  сигналу  $R$ .  $D$ -тригер утворюється введенням інвертора в коло входу  $K$ .  $R$ - $S$ -і  $D$ -тригери є тактованими.

Якщо входи  $J$  і  $K$  об'єднати і подати на них лічильні імпульси  $T$ , отримаємо  $T$ -тригер з лічильним запуском. У цьому полягає універсальність  $J$ - $K$ -тригера. Інтегральні тригери застосовують під час побудови складних функціональних пристройів: лічильників імпульсів, регістрів, пристройів, що запам'ятають, дільників частоти і т.д.